

УДК 577.17+547.963.3

БИОХИМИЯ

Академик АН ГрузССР Э. Л. АНДРОНИКАШВИЛИ, Л. М. МОСУЛИШВИЛИ,
В. П. МАНДЖГАЛАДЗЕ, А. И. БЕЛОКОБЫЛЬСКИЙ, Н. Е. ХАРАБАДЗЕ,
Е. Ю. ЕФРЕМОВА

СВЯЗЫВАНИЕ СЛЕДОВЫХ КОЛИЧЕСТВ НЕКОТОРЫХ
ЭЛЕМЕНТОВ НУКЛЕИНОВЫМИ КИСЛОТАМИ
ЗЛОКАЧЕСТВЕННЫХ ОПУХОЛЕЙ

В последних работах нашей группы было выяснено, что у некоторых биомакромолекул, например коллагена, характер процессов трансконформации, растворимости и т. п. существенно неодинаков в зависимости от того, экстрагирована ли молекула из нормальной ткани (¹, ²) или из злокачественной (³). Это, естественно, наводит на мысль о том, что и химический состав макромолекул в этих двух случаях должен быть различен.

За последнее время стало очевидным, что в препаратах нуклеиновых кислот всегда содержится довольно большое число различных элементов, не входящих в состав нуклеотидов (⁴-⁸). Это создало предпосылки для исследования распределения микроэлементов в биомакромолекулах не только нормальных тканей, но и злокачественных опухолей.

В настоящей работе в качестве экспериментального материала были использованы препараты ДНК и общей РНК, выделенные из карциносаркомы Walker-256, саркомы M-1 и печени здоровых крыс по методу Кирби — Георгиева (⁹-¹¹) с некоторой модификацией, обусловленной тем, что к чистоте реактивов, используемых в процессе препаративного выделения нуклеиновых кислот, предъявлялись очень жесткие требования.

Реактивы подвергали многократной очистке с использованием различных физико-химических методов: дистилляции, экстракции и очистке на ионнообменных смолах КУ-2, АВ-17, IRA-410.

Препараты нуклеиновых кислот выделяли из перевиваемых опухолей на 12—15 день после перевивки. В качестве нормы рассматривались препараты, выделенные из печени здоровых крыс. Число животных, использованных в каждом опыте, составляло 6—8 штук.

Полученные препараты нуклеиновых кислот в количестве 10—20 мг сухого веса помещали в кварцевые ампулы и облучали в центре активной зоны реактора ИРТ-2000 Института Физики АН ГрузССР интегральным потоком тепловых нейтронов порядка $2 \cdot 10^{19}$ нейтр/см². При облучении образцов в таком интегральном потоке нейтронов происходит активация не только короткоживущих, но и долгоживущих радиоизотопов. К числу долгоживущих радиоизотопов следует отнести, например, Ag^{110m} , Co^{60} , Sb^{124} , Sc^{46} , Sn^{113} , Fe^{59} .

Исследование γ -спектров облученных образцов ДНК и РНК через 2—3 недели после облучения позволило обнаружить и измерить весьма слабую активность, обусловленную долгоживущими радиоизотопами. Для обнаружения и измерения такого низкого уровня активности в наших экспериментах использовали сцинтилляционный 4л- γ -спектрометр полного поглощения с кристаллом $\text{NaJ}(\text{Tl})$ размером 150×150 мм с колодцем и ФЭУ-49. Заметим, что полная эффективность данной системы при регистрации γ -квантов с энергией 662 кэВ от изотопа Cs^{137} по фотопику составляет $\sim 25\%$.

γ -Спектры ДНК представлены на рис. 1а, где наряду с ДНК, извлеченной из печени здоровых крыс, представлена ДНК из злокачественных

тианей (нормирование на 1 мг сухого веса). Сопоставление спектров позволяет установить степень связывания различных элементов нуклеиновыми кислотами злокачественных опухолей по сравнению с нормой.

Сравнительный анализ приведенных гистограмм удобнее начинать с правой стороны.

Первый фотопик с самой высокой энергией γ -излучения 2911 кэВ, обусловленный изотопом серебра Ag^{110m} , получается за счет многократного

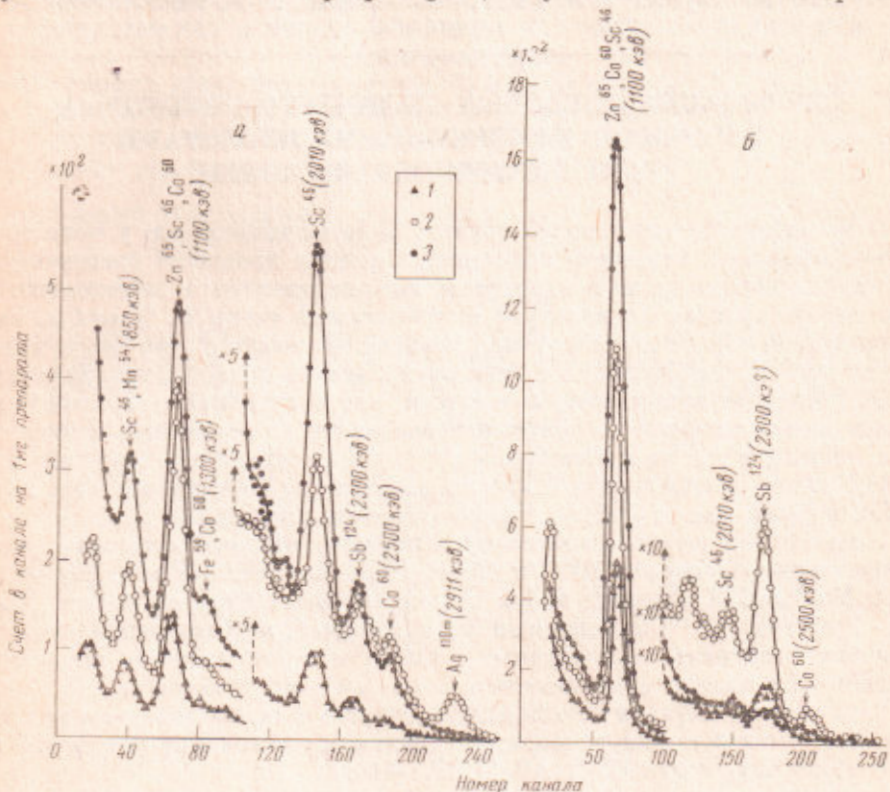


Рис. 1. γ -Спектры образцов ДНК (а) и РНК (б), облученных в потоке нейтронов $2 \cdot 10^{19}$ нейтр/см 2 ($0.5 \leq E_\gamma \leq 3.5$ МэВ). 1 — ДНК из печени здоровых крыс, 2 — из саркомы М-1, 3 — из карциносаркомы Walker-256

$\gamma\gamma$ -самосовпадения в кристалле большого размера и лежит в свободной от интерференции области γ -спектра. Далее регистрируется суммарный фотопик Co^{60} с энергией 2500 кэВ. Точное значение величины площади под этим фотопиком определяется вычитанием вклада, вносимого радиоизотопом Ag^{110m} .

Следующие фотопики обусловлены изотопами Sb^{124} с энергией 2300 кэВ и Sc^{45} с энергией 2010 кэВ. Область энергии γ -излучения ~ 1300 кэВ является слаборазрешенной, однако можно дать качественную характеристику содержания железа в нуклеиновых кислотах по приведенным спектрам.

Наиболее интенсивная линия в гистограммах всех образцов обусловлена изотопом Zn^{65} с энергией 1120 кэВ.

Область спектра ниже 800 кэВ представляет собой суперпозицию комптоновских спектров более энергичных γ -квантов и тормозного γ -излучения от изотопа P^{32} .

Методом последовательного вычитания были разложены приведенные γ -спектры по изотопам Ag^{110m} , Co^{60} , Sb^{124} , Sc^{45} , Fe^{59} , Zn^{65} и т. д. Далее по методу сравнения было определено содержание этих элементов в исследуемых образцах ДНК. Результаты этих определений приводятся в табл. 1.

Как видно из рис. 1а и табл. 1, микроэлементный состав ДНК, выделенной из карциносаркомы Walker-256, характеризуется наличием пиков Co^{60} , Sb^{124} , Sc^{45} , Fe^{59} и Zn^{65} . ДНК, выделенная из саркомы М-1, характеризуется дополнительным пиком Ag^{110m} . Если не считать пика Co в саркоте М-1, который превышает соответствующий пик в карциносаркоте, то для всех остальных перечисленных элементов пики карциносаркомы значительно выше пиков саркомы М-1. Что касается микроэлементов ДНК, вы-

Таблица 1

| Образец | Сухой вес, мг | Содержание элемента, 10^{-9} г на 1 мг сух. препарата | | | | | |
|------------------------------|---------------|---|-----------------|------------|----------------|-----------------|---------------|
| | | Zn | Co | Fe | Ag | Sc | Sb |
| ДНК (Walker-256) | 5,6 | $2,06 \pm 0,18$ | $0,34 \pm 0,05$ | 32 ± 6 | $0,45 \pm 0,5$ | $0,28 \pm 0,08$ | $2,5 \pm 1,6$ |
| ДНК (М-1) | 3,9 | $1,93 \pm 0,1$ | $0,31 \pm 0,06$ | 24 ± 5 | $2,29 \pm 0,7$ | $0,08 \pm 0,07$ | $1,4 \pm 0,8$ |
| ДНК (норма) | 21,7 | $0,54 \pm 0,05$ | $< 0,05$ | 16 ± 3 | $0,23 \pm 0,3$ | $0,03 \pm 0,02$ | ~ 1 |
| РНК (Walker-256) | 33,0 | $10,3 \pm 0,5$ | $< 0,05$ | $< 0,5$ | $< 5,10^{-2}$ | $< 10^{-2}$ | $1,6 \pm 1,2$ |
| РНК (М-1) | 20,5 | $6,65 \pm 0,7$ | $0,45 \pm 0,07$ | $< 0,5$ | $< 5,10^{-2}$ | $< 10^{-2}$ | $5 \pm 1,5$ |
| РНК (норма) | 39,1 | $3,03 \pm 0,1$ | $< 0,05$ | $< 0,5$ | $< 5,10^{-2}$ | $< 10^{-2}$ | ~ 1 |
| Чувствительность определения | — | 0,3 | 0,15 | 16 | 2 | 0,07 | 0,2 |

Таблица 2

Распределение радиоактивных Co^{60} , Ag^{110m} и Zn^{65} в реактивах, использованных при получении препаратов ДНК и РНК из печени здоровых крыс (%)

| Образец | Co | Ag | Zn |
|---|---------------|--------------|---------------|
| Остаток после фильтрации гомогената Фенол pH 6,0 после обработки гомогената 0,14 M NaCl после обработки ДНК | 15—25 20,4 | 70—80 6,0 | 20—25 11,3 |
| Осадок после 1-го центрифугирования Фенол pH 6 после обработки ДНК | 8,4 0,6 | φ 8,3 | 2 0,54 |
| Фенол pH 8,3 | φ * | 7,7 | φ |
| Спирт после осаждения ДНК | φ | φ | 46,6 |
| Фенол pH 6,0 после обработки РНК | 3,9 2,4 | » » | 7,5 φ |
| Спирт после осаждения РНК | 40,9 | » | 7,0 |
| Препарат РНК | φ | » | 2,9 |
| Препарат ДНК | » | » | 0,02 |

* φ — активность образцов не превышает фона.

деленной из печени здоровых крыс, то они представляют собой как бы естественный фон, на котором очень резко выделяются описанные пики. Распределение микроэлементов в РНК (см. рис. 1б) отличается от распределения в ДНК отсутствием пика серебра для обеих сарком. Пики Sb и Sc для саркомы М-1 лежат значительно выше соответствующих пиков карциносаркомы, микроэлементы которой в пределах погрешности эксперимента не отличаются от фоновых количеств нормальной ткани. Обращает на себя внимание полное отсутствие пика Fe^{59} . Особое внимание при рассмотрении таблицы следует обратить на содержание Zn, Fe и Ag.

Возникает вопрос о том, не могли ли упомянутые элементы войти в состав нуклеиновых кислот в результате биохимических препаративных манипуляций. С целью определения степени связывания металлов нуклеиновыми кислотами из реактивов в процессе их препаративного выделения нами были поставлены специальные опыты, в которых реактивы искусственно «загрязнялись» радиоактивной меткой Zn^{65} , Co^{60} , Ag^{110m} . Количество каждого элемента 10 мг и активность 50—100 μC . Радиоактивная метка в виде хлорида цинка и пиратратов кобальта и серебра вводилась в 200 мл 0,14 M раствора NaCl, использовавшегося на стадии гомогенизации ткани.

Экспериментальные результаты распределения меченых изотопов приводятся в табл. 2. Приведенные в ней данные свидетельствуют о том, что

для каждого радиоизотопа характерно свое распределение, и он практически не связывается с нуклеиновыми кислотами.

Вместе с тем был проведен эксперимент со скармливанием б лабораторным крысам радиоизотопа Zn⁶⁵ в течение 3 недель. Концентрация этого элемента, а также его активность по β- и γ-излучению были подобраны таким образом, чтобы не оказывать на животных значительного токсического и радиационного воздействия. Голодавших в течение 2 дней животных декапитировали и выделяли из печени ДНК, РНК и ДНП и белок после депротеинизации ДНП. Активность полученных препаратов измеряли при помощи спиритуэльского γ-спектрометра. Данные этих изме-

| Образец | РНК | ДНК | ДНП | Белок |
|--|-----|-----|-----|-------|
| Число γ-квантов с энергией 1120 кэв на 10 мг образца | 426 | 400 | 408 | 301 |

рений являются еще одним доказательством связывания металлов нуклеиновыми кислотами *in vivo*.

Авторы выражают глубокую благодарность акад. Я. В. Пейве и акад. И. П. Алимарину за обсуждение результатов и ценные советы.

Институт Физики
Академии наук ГрузССР
Тбилиси

Поступило
10 VIII 1970

ЦИТИРОВАННАЯ ЛИТЕРАТУРА

- ¹ Э. Л. Аидроникашвили, Г. М. Мревлишвили и др., ДАН, 183, № 1 (1968). ² Э. Л. Аидроникашвили, Н. Г. Бакрадзе и др., Письма в ЖЭТФ, 8, 10 (1968). ³ Э. Л. Аидроникашвили, Г. М. Мревлишвили, ДАН, 183, № 2 (1968). ⁴ W. E. C. Wacker, B. L. Valee, J. Biol. Chem., 234, 3257 (1959). ⁵ W. E. C. Wacker, M. P. Gordon, H. J. Huff, Biochemistry, 2, 716 (1963). ⁶ H. J. Huff, R. S. Sastry et al., Biochemistry, 3, 501 (1964). ⁷ А. И. Белокобыльский, Э. Н. Гинтури и др., Авт. свид. № 232588; Бюлл. изобр., № 1 (1969). ⁸ А. И. Белокобыльский, Э. Н. Гинтури и др., Биофизика, 13, в. 6 (1968). ⁹ K. Kirby, Biochem. J., 66, 495 (1957). ¹⁰ K. Kirby, Biochim. et biophys. acta, 55, 545 (1962). ¹¹ Г. П. Георгиев, Биохимия, 24, 472 (1959).